

## (22) 多径間連続橋の設計について

首都高速道路公団 海老根 昭  
 同 宮南 純  
 同 枝元 泰輔  
 同 ○ 中川 誠志

### 1 まえがき

これまでの高速道路高架橋の構造をみると単純桁橋が多いが、このような構造においては必然的に伸縮装置の数が多くなる、2走行性が阻害されまた懸手部から発生する騒音や振動などが特に都市部で問題とされることが多くなることえた。このような問題の解決法の一として連続径間数を増やしたいゆる多径間連続橋の構造形式を採用することを考えられ、首都高速葛飾川口橋ではこのような観点からいわゆる多径間連続橋が2例計画設計された。これらの橋梁は全体橋長約500m、連続径間数10~12径間で、その橋長および連続の径間数において我が国では画期的と言える。本文ではこの多径間連続橋の設計概要とのともに設計上の問題点およびその処理における基本的考え方について述べる。

### 2 多径間連続橋の形式

多径間連続橋とは上部桁の構造を全橋長にわたる、2一体となるものとし、これを各橋脚上の支承とするところになる。このような多径間連続橋を実現するには図-1に示すようにいくつもの方法を考えられる。図-1(a)は地震時水平力を特定の固定橋脚に集中させ他の橋脚は全く可動とするいわゆる集中方式であるが橋長が大きい場合は固定橋脚の断面が大きくなるため橋長に制限をうける。これに対し2地震力を各橋脚に分散させる分散方式か(c)を考えられる。(c)はセンペー等の特殊支承と用い2地震力を分散させ、温度力については自由に桁の変位を許し2解放(2)まうものである。さらに(c)は各橋脚の可とう性により、2温度力を解放し、地震力を各橋脚に分散させる柔橋脚方式である。本文で対象となる多径間連続橋はこの方式によることいる。

このような柔橋脚方式では温度力と地震力をバランスさせるために橋脚の剛性配分をどのようにするか設計上の重要な問題となるべき。このことは図-2でみよよくわかる。図は仮想の多径間橋(各支間長約40m、鋼桁

Fig.1 Type of Multi-span Continuous Bridge

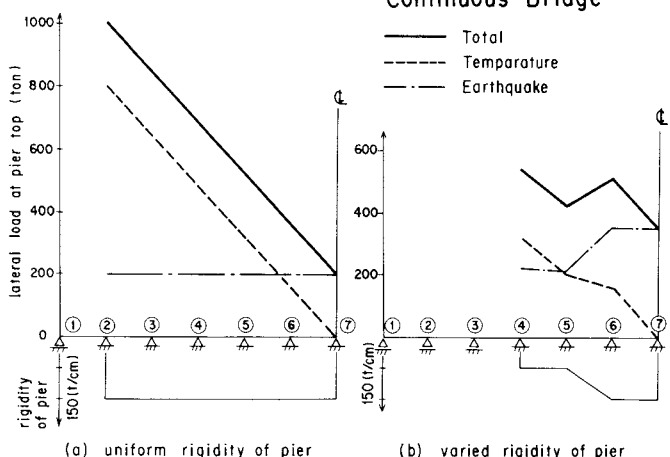


Fig.2 Effect of Rigidity of Pier on Lateral Load at Pier Top (Longitudinal)

(12径間連続) ひの上部工水平反力について2つの試算例をあう。図-2(4)は各橋脚の橋軸方向ベネ常数が両端脚を除き全2150 N/mと均等化された場合である。2地震力は各橋脚に均等に分担されるか上部桁の温度による水平力は端部橋脚より累加されて大きな水平力が作用することになる。ここで端部固定脚の負担を軽減するため図-2(4)では構造変更し2橋脚剛性を中央から端部にかけ2段階的に減少させまた可動脚を追加する。その結果地震力は中央部の剛な脚に分担され、温度力は可動脚と柔橋脚の組み合せでかなり解放される。こうして地盤+温度による合計水平力は固定脚には半平均化され經濟的な橋脚設計が可能となる。このように柔橋脚方式では固定脚の剛性や可動脚の組み合せなど重要な要素となるがこよりは連続径間数や橋長、上部桁や橋脚、基礎の構造特性などを総合的に判断して決めるものである。

本文で以下に示す多径間連続橋の設計例については上のような検討を経て設計が進められたか橋脚ベネの観点からそれを示す設計例の特徴をあげると次のようである。設計例-A(KS44工区)では鋼橋脚のみの場所打杭(Φ150)で支承されたフーチング基礎を有している。このときの橋脚ベネは鋼橋脚部分の剛性により25%を決まり、杭-地盤系の基礎ベネの寄与率は小さい。ところが設計例B(KT38工区)の場合には橋脚はRC橋脚、基礎は大口径場所打杭(Φ3.0mおよびΦ2.5m)によるペイントレット形式を採用して基礎ベネの橋脚全体ベネに対する寄与率はかなり大きくなる。したがってこの場合には地盤と基礎との変形特性を的確に把握して設計に組みこむ必要がある。

### 3 鋼橋脚を用いた場合の多径間連続橋...設計例(A)

本橋は図-3に示すように10径間連続高架橋(各支間長50m、全橋長500m)である。上部工は連続非合成鋼箱桁として、また鋼橋脚の横梁は上部桁に組み込まれて一体となりこの上部構造を單柱2本式鋼橋脚が支持している。また基礎構造は前述の通り場所打杭で支承されたフーチング基礎である。上部桁の支承条件は図-4に示すように両端橋脚が可動、他は全て固定としている。このような多径間連続橋の設計における設計上の問題点およびその対処方法について次に考察してみたい。

#### (i) 上部鋼橋脚設計に用いる温度変化の幅

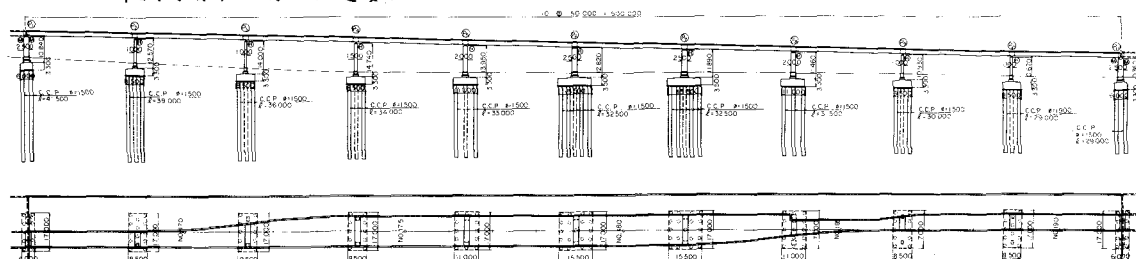
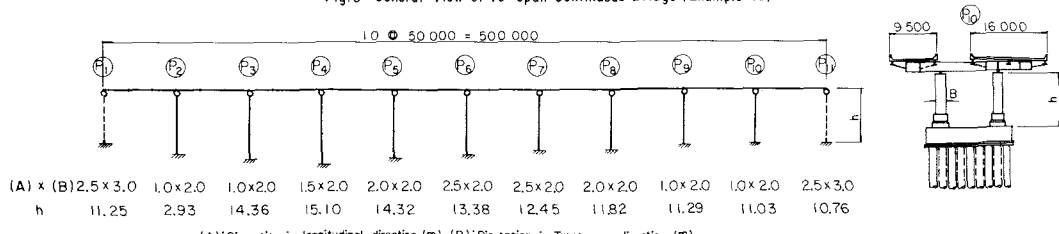


Fig.3 General View of 10-span Continuous Bridge (Example-A)



(A): Dimension in longitudinal direction (m), (B): Dimension in Transverse direction (m)

Fig.4 Structural Model of Example-A

多径間連続橋では温度によると上部工動力か下部工に大きく影響を与えることが大きな特徴である。したがって設計に用いる適正な温度変化幅について十分な検討をしなくては必要がある。道路橋示方書では鋼橋に対する設計温度幅は正味 $60^{\circ}\text{C}$ とし、架設時の温度が不明の場合は± $35^{\circ}\text{C}$ と定めている。一方本橋梁の架設地点である東京地方の年温差-10.2°Cと過去100年間に亘り2日最高 $38.4^{\circ}\text{C}$ 、日最低-9.2°C(気象年鑑)また月平均日最高 $31.0^{\circ}\text{C}$ 、同最低-0.4°C(理科年表)とえりより示方書の想定幅よりもくらか低めとなる。一方設計に用いられる地震は約75年に1回生ずる程度の想定が想定されおりこの地震と温度が同時に生ずる確率は低いものと思われる。そこで本橋梁の設計では過去の最高気温-10°Cを考慮して図-6のような温度幅によって鋼橋の設計を行なった。

### (ii) 温度変化幅に考慮する床版断面積

上部鋼箱桁は非合成として設計されるが実際には床版と鋼桁はスラブアンカーにより2種合せられることから温度変化時にはある程度合床断面として作用するものと思われる。この合成効果か下部工の設計に何等影響を与えるかをしらべるために実際の橋脚断面を想定して上部工断面に考慮する床版の割合の橋脚曲げモーメントにあよう影響をしらべた。表-1はこの結果であるが線膨張係数を鋼橋とコンクリートで変える場合を除くと曲げモーメントは精々5%の影響である。そこで実設計には床版面積100%を有効と考えることとした。このように下部工の設計には影響はないが床版自体の設計には重要な考慮となると思われる。

### (iii) 橋脚下端に与える基礎ベネの影響

橋脚底部におけるベネ常数は橋脚自身の可とう性と基礎部分の変位特性によって支配される。そこで本設計例のように鋼橋脚を用いた場合抗基礎部分の変位特性の影響割合をしらべたのが図-5である。橋軸方向ベネに亘り2抗基礎部分を考慮した場合と無視した場合との比較した結果大差はみられない。このようなことから鋼橋脚を用いた多径間連続橋では橋脚下端を固定条件として橋脚部分のベネ常数を用いても実用的には十分よいと思われる。余て本設計例地点での地盤は軟弱沖積地盤で杭の設計に用いるK値は低い値を採用している。

以上のような問題点処理により、210径間連続橋の設計をしたがその結果を橋脚の断面寸法について述べると図-4に示すとおりである。また橋脚ベネ常数は図-5に示すとおりである。ここで床版の柔軟性(P<sub>11</sub>およびP<sub>22</sub>)については、地震応答解析の結果橋脚直角方向の変位が遠端部でかなり大きくなることから

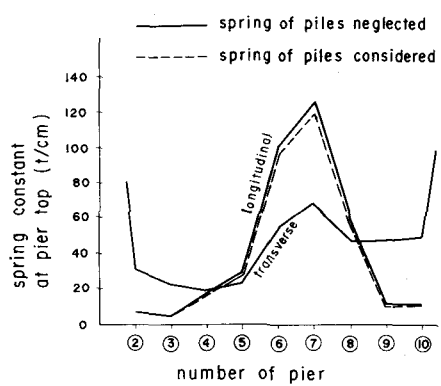


Fig. 5 Spring Constant of Metal Pier at its Top

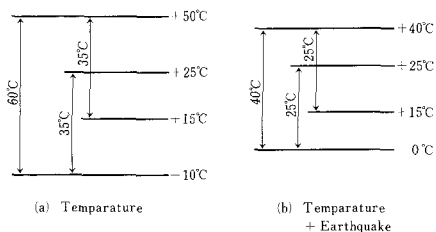


Fig. 6 Range of Temperature for Design

assumed rate of concrete slab as girder section	coeff. linear expansion		ratio of moment at pier base
	steel girder	concrete slab	
100 %	$12 \times 10^{-6}$	$12 \times 10^{-6}$	1.0
60 %	$12 \times 10^{-6}$	$12 \times 10^{-6}$	0.98
neglected	$12 \times 10^{-6}$	—	(0.95)
100 %	$12 \times 10^{-6}$	$10 \times 10^{-6}$	0.89

Table-1 Effect of Concrete Slab on Bending Moment at Pier Base

され、この変位をみて 2 橋脚工法の影響を少くするために直角方向に対して大きな剛性とした。

#### 4 RC 橋脚およびパイルヤント基礎を用いた多経間連続橋 ----- 設計例 (B)

RC 橋脚およびパイルヤント基礎を有する多経間連続橋の設計例を図-7 に示す。本設計例では、12 経間連続橋（各支間長 40.5 ~ 44.0 m, 全橋長 507.5 m）で上部構は連続非合板鋼箱桁とし、設計例 A と同様に橋脚上の横梁は上部構に組みこんで一体となる。RC 橋脚は H 型とし、2 中間に横梁を入れて横方向剛性を増してあり、基礎は大口徑鋼管打杭（Φ3.0, 2.5 m）による單杭および 2 本組合パイルヤント形式である。本設計例ではこのようにパイルヤント形式を採用することによることにより、2 杭一地盤系の変形特性を積極的に取り入れた橋脚パネル評価としてある点に特徴がある。支承条件や橋脚・杭の構造については図-8 に示すとおりであるが、これらの構造形式の設計に際しては橋脚や杭の曲げモーメント、2 本組合としたときの杭の押込・引抜き荷力さらに上部工軸力や床版応力などを全許容値内に入るように数多くの検討ケースについて試行計算を行ない最適設計断面を探るようになされている。本設計例における設計上の問題点およびその整理については次のとおりである。

##### (i) 上部鋼箱桁設計温度

設計例 A と述べたとおり温度時  $\pm 35^{\circ}\text{C}$ , 地震 + 温度時  $\pm 25^{\circ}\text{C}$  とする。

##### (ii) 床版断面積の評価

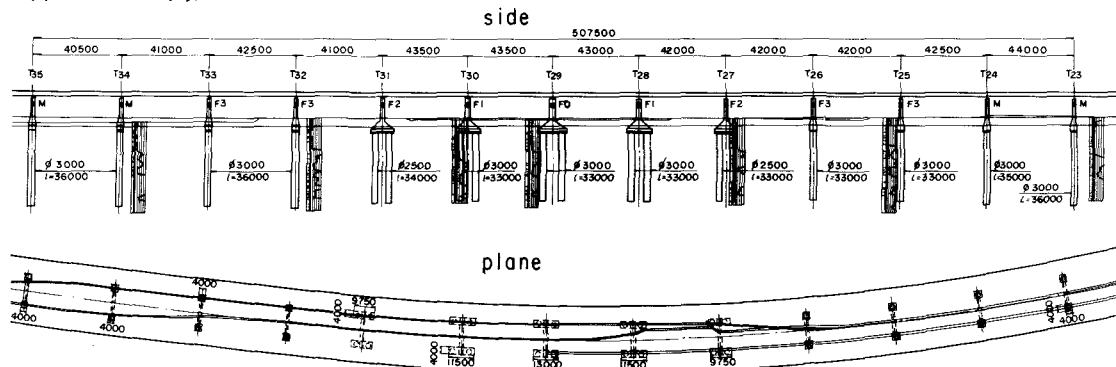


Fig. 7 General View of 12-span Continuous Bridge (Example B)

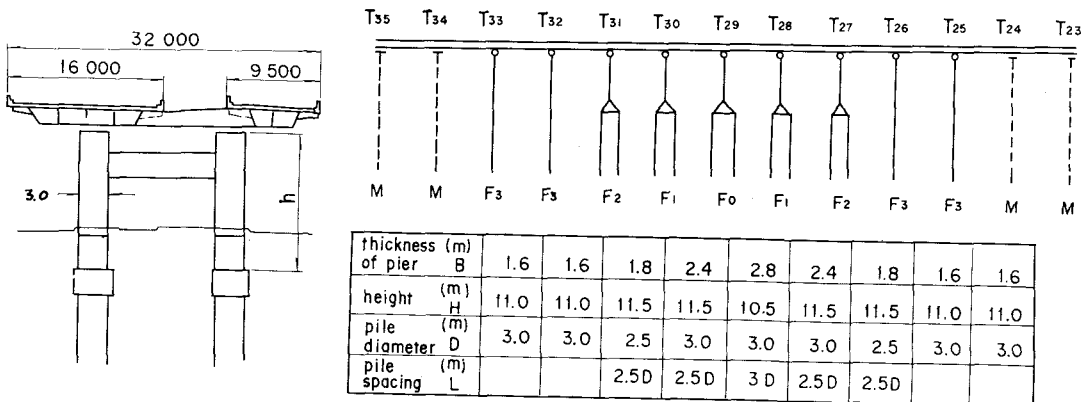


Fig. 8 Structural Model of Example-B

設計例Aと同様に床版断面積100%を主荷重断面積に考慮する。

### (iii) 横方向地盤反力係数K値

基礎杭の設計に用いる横方向地盤反力係数K値は通常は土質調査資料などから決めた一つの値について設計をしますが一般的であるか本構造のように地盤K値の評価が構脚に大きな影響をもつ構造形式では地盤条件のバラツキを考慮に入れてある幅とともに設定をよく必要があるうと思われる。

さらに本設計例のようにパイルドン形式を採用している場合には基礎杭が地震のような急速な荷重をうける場合と温度のような緩速な荷重をうける場合がありこれら両ケースに対して同一のK値を採用するのは土のクリーカ特性などを考慮すると不都合のように思われる。地盤のクリーカによるK値の低下についてはボーリング孔内のクリーカ試験でも確認されています。

そこで地盤K値に関する諸問題を現地盤で確認するために実験(Φ3.0m)による現位置水平載荷試験を実施し載荷条件によるK値の影響をしきべた。

その結果を図-9に示す。本実験では通常の載荷試験の他に杭頭荷重一定(最大66時間)および杭頭変位一定(最大50時間)保持試験を行いクリーカ変化率やシニシヨンによる荷重変位関係の変動状況を観察する。図中実線は急速載荷による荷重変位の関係、点線はクリーカをヒート巻に入れたうえでの緩速載荷に対応する荷重変位関係を表すものと考えられる。また図中には地盤K値をえた場合のChang式による計算値も記してある。こよりから載荷模式によるK値の影響は明らかに認められる。

このような実験結果および以上に述べた考慮モデルとに本設計例では地盤K値を表-2のように仮定して設計を進めた。地震時に用いるK値を10, 20, 40%<sub>red</sub>としてそれに対する

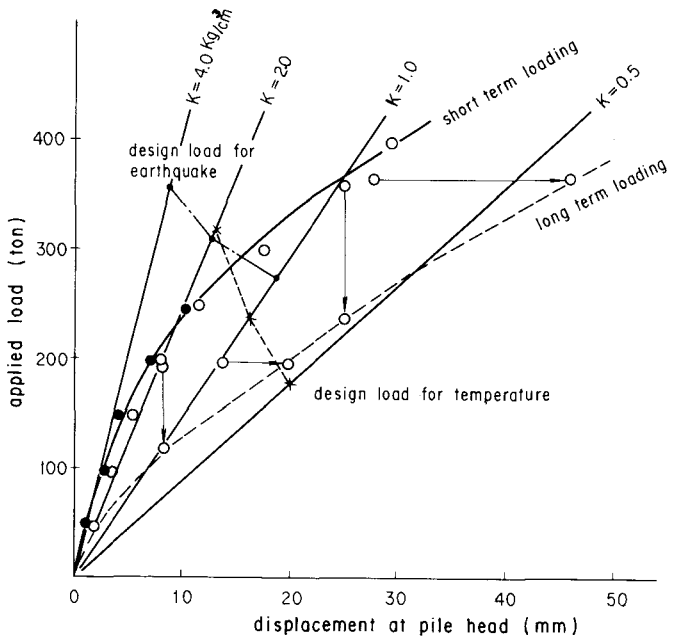


Fig. 9 Lateral Loading Test on  $\phi 3.0\text{m}$  Pile

Case of design	Combination of design K-value ( $\text{kg/cm}^3$ )		
Temperature	2.0	1.0	0.5
Earthquake	4.0	2.0	1.0

Table-2 Combination of K-value for Design

case of design	ordinary	temperature	earthquake	earthquake + temperature
factor	1.0	1.15	1.50	1.65

Table-3 Correction Factor for Bearing Capacity of Pile

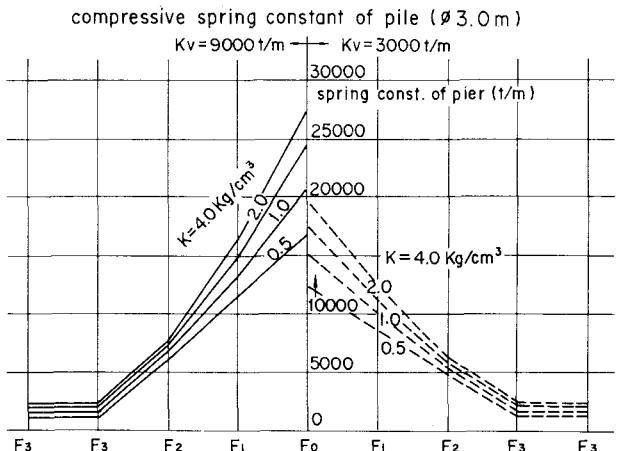


Fig. 10 Spring Constant of Pier (Example B)

応する温度時の  $K$  値を上の 1/2 倍したもののとし、これら 3 ケースについて全く応力計算を行なったのである。このように地震時と温度時で  $K$  値をかえす方法は本設計例で始め採用されたものと想定される。

#### (IV) 抗の許容支承力の割増

現行の基礎設計の考え方では抗の支承力割増は地震時のみとするのが一般的である。これは静定構造物を対象としているためである。本構のように温度などによる静定力が主たる荷重として作用するようなら場合は温度割増を取り入れよといふべきと思われる。このような考え方によると抗支承力の割増を表す 3 のようにして設計を行なった。

以上の問題点修理による設計の結果は前述の図 7, 8 のとおりであるが橋脚ベネラ数を図-10, 上部工水平反力(橋軸方向)を図-11 に示す。

#### 5 多経間連続橋の地震応答解析

これまでに述べた多経間連続橋の 2 例について 2 つ地盤震害解析を行なった。設計例 A について 2 つは、橋軸方向には一次の振動モードが卓越し全体があたりが同一質点系のように振動するが橋軸直角方向につき 2 つは振動モードが分散してその振動性状は解的解

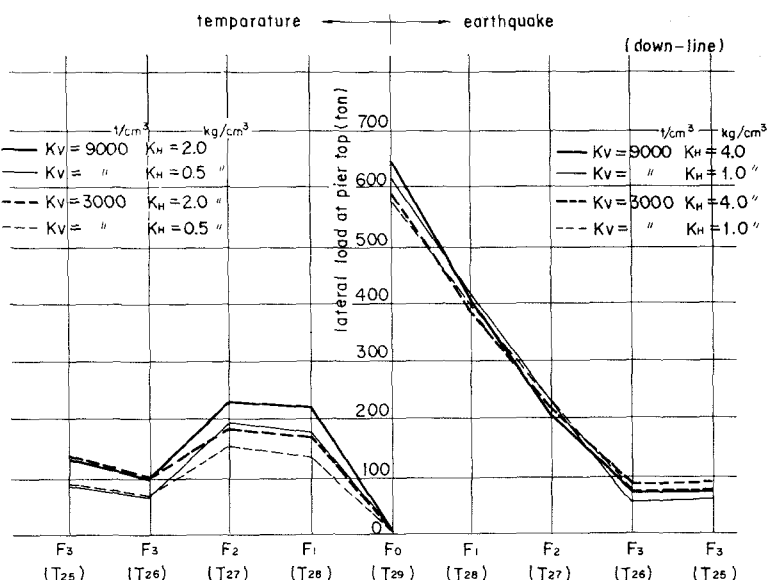


Fig. 11 Lateral Load at Pier Top (Example-B)

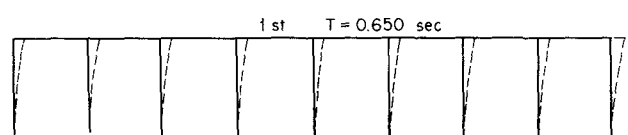


Fig. 12 Shaking Mode in Longitudinal Direction (Case A-1)

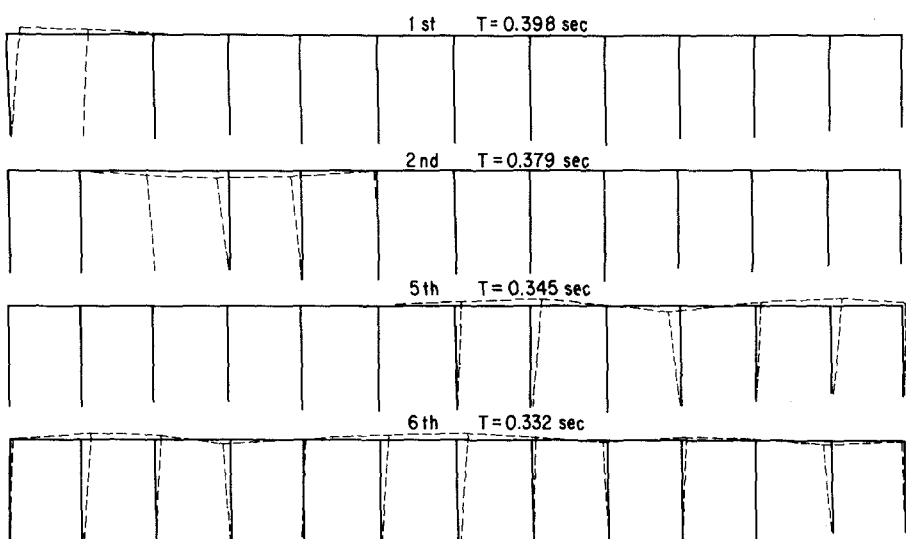


Fig. 13 Shaking Mode in Transverse Direction (Case B-1)

析の結果とかなり異ることと認められた。これらの概要は別に報告しているのでここでは設計例Bについての解析結果について述べる。

設計例Bの応答解析をさる前に基礎杭(中3.0m)について現位置水平振動実験を行ない地盤-杭の振動性状をうめた。その結果とともに応答解析を行なったが解析では杭頭ベネモルや全体系モードなどにより平均入力カトルを用いる方法や実地震波による解析を含め多くの解析ケースについて実施した。その結果橋軸方向の振動モードは図-12のように1次モードが卓越するか橋軸直角方向には図-13のように卓越モードが分散して設計例Aと同様の傾向を示した。断面力として橋脚下端曲げモーメントに注目して静的解析値(設計震度0.26)と応答解析値(杭頭ベネモルで地表入力加速度255gal, 全体系モードで杭支持地盤250gal)を比較したのが図-14(橋軸方向)図-15(直角方向)である。橋軸方向は振動モードが静的解析で仮定したものと同じであるので曲げモーメントについては両者の差は余りみられない。ところが直角方向については卓越モードが分散するので曲げモーメントについては角合版が生じて結果として静的解析値より低い値を示している。この事は遂に多径間連続橋の耐震性に與する有利性を示唆するものと思われる。

## 6.まとめ

固定橋脚のたわみ性によつて上部工温度力を解放する多径間連続橋の設計について鋼橋脚を用いた場合(設計例A)とRC橋脚およびモルタル打下式基礎を用いた場合(設計例B)の設計具体例とともに設計概要、問題点およびその処理について考察した。本文で述べた内容につき2-1部規則設計段階のものであり詳細設計の結果につきは報告していない。本設計例の内容につき「都市高速道路高架橋の新しい構造形式に関する調査研究委員会」(高速道路調査会・足立洋委員長)に資料として提出し討議された。委員長はじめ委員の方々に謝意を表します。

## 参考文献

- (1) “都市高速道路高架橋の新しい構造形式に関する調査研究” 高速道路調査会 昭和53年2月
- (2) “高速道路橋の設計における多径間連続橋について” 石沢,山寺,桂, 第32回土木学会年次講演会I-217, 52-10
- (3) “10径間連続高架橋の地震応答解析” 中川,小森,岸本, 第5回日本地震工学シンポジウム 133, pp1057~1064, 53.11

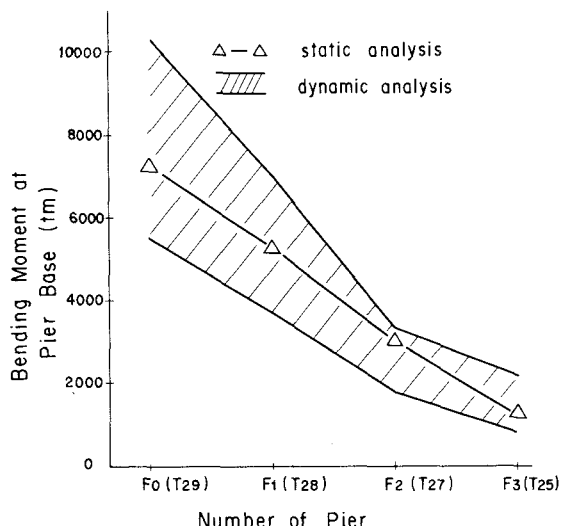


Fig. 14 Bending Moment at Pier Base of Example-B (Longitudinal)

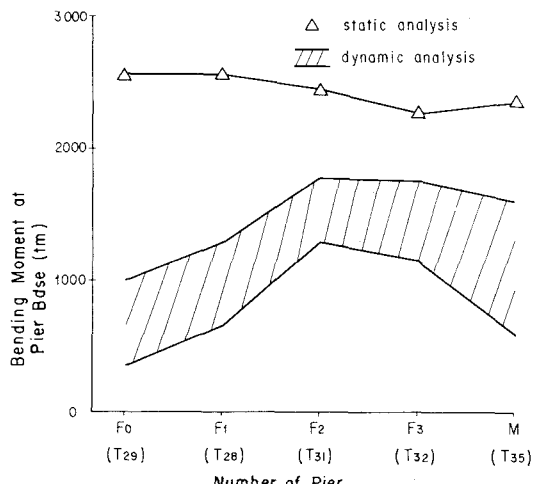


Fig. 15 Bending Moment at Pier Base of Example-B (Transverse)

## DESIGN OF MULTI-SPANN CONTINUOUS BRIDGE

by Akira EBINE\*, Hiroshi MIYANAMI\*,  
Taisuke AKIMOTO\* and Seishi NAKAGAWA\*

Two multi-spann continuous bridges are designed basing on new design concepts in the route of Katsushika-Kawaguchi line of metropolitan expressway. The entire length of one of the bridges is as long as 500 m with 10-spann continuous steel box girder (design example A), and the other has the length of 507.5 m with 12 spann continuous structure.(design example B).

These bridges are designed in such a manner that the flexural rigidities are put high value to middle pires and are decreased in steps toward end piers so that temparature loads of box girder are released by the flexibility of pier frame itself, whereas the earthquake loads are undergone mainly by rigid middle piers. Therefore the magnitude and its allocation of spring constants value at each pier top along the entire bridge are the decisive factor to actualize such type of long bridge.

In the design example A(Fig. 3), the steel pile structures fixed by footing foundation are adopted, where the spring effect at pier top is produced mainly by the flexibility of pier frame itself. However the design example B(Fig. 7) has reinforced concrete piers and pile bent type foundations therefore the estimation of deformation characteristics of foudation-soil interaction is definitely required to obtain the spring constant at the pier top.

Through the design of these bridges, followings are assumed as part of design specification.

- 1) Range of temparature for design of steel girder is taken as seen in Fig. 6.
- 2) Full sectional area of concrete slab is taken as girder section for safety design as seen in Table 1.
- 3) Correction factor for bearing capacity of pile in case of design example B is determined as shown in Table 3.
- 4) Considering the loading rate effect on soil spring constant, design K-value is varied in earthquake case and temparature case; a half of the former for the latter value.

Earthquake response analysis shows that first mode of shaking dominates in longitudinal direction but several modes are involved in transverse direction. As a result, obtained value of bending moment of pier by static design is almost equal with that of dynamic analysis for longitudinal direction but descrepancies are seen for transverse direction.

---

\* Design section, 2nd Construction division, Metropolitan Express-way Public Corporation